

Rapport du TP numéro 2 d'EDP 2  
Equation de la chaleur 2D par un  $\theta$ -schéma

Elise DURAND et Nicolas BONNEEL

31 janvier 2005

# Table des matières

<b>1</b>	<b>Introduction</b>	<b>3</b>
<b>2</b>	<b>Résolution approchée par un <math>\theta</math>-schéma et programmation Matlab</b>	<b>3</b>
2.1	Obtention du maillage . . . . .	3
2.2	Formation des matrices masse et raideur finales et résolution . . . . .	4
<b>3</b>	<b>Mise au point du programme de résolution approchée</b>	<b>5</b>
3.1	Problème ayant une solution analytique connue. . . . .	5
3.2	Mise au point du programme . . . . .	5
<b>4</b>	<b>Expérimentation numérique</b>	<b>6</b>
4.1	Exemple traité. . . . .	6
<b>5</b>	<b>Conclusion</b>	<b>7</b>
<b>6</b>	<b>Annexes</b>	<b>8</b>
6.1	Script global utilisé pour les deux exercices . . . . .	8
6.2	Fonctions 'alph' et 'alph2' correspondants aux exercices 1 et 2 . . . . .	10
6.2.1	Exercice 1 . . . . .	10
6.2.2	Exercice 2 . . . . .	10

# 1 Introduction

Nous allons étudier le problème parabolique suivant (équation de la chaleur 2D) :

$$\begin{cases} \partial_t u(x, y, t) - \partial_x^2 u(x, y, t) - \partial_y^2 u(x, y, t) = 0, & (x, y) \in ]0, 1[ \times ]0, 1[, t \in ]0, T[, \\ u(0, y, t) = u(1, y, t) = 0, & y \in [0, 1], t \in [0, T], \\ \partial_y u(x, 0, t) = \partial_y u(x, 1, t) = 0, & x \in [0, 1], t \in [0, T], \\ u(x, y, 0) = \alpha(x, y), & (x, y) \in [0, 1] \times [0, 1] \end{cases} \quad (1)$$

où  $\alpha$  est une fonction donnée dans  $H^1([0, 1] \times [0, 1])$  vérifiant la condition de compatibilité suivante :  $\alpha(0, y) = \alpha(1, y) = 0, y \in [0, 1]$ .

selon un  $\theta$ -schéma pour la résolution temporelle, et une méthode d'éléments finis pour la résolution spatiale, pour différentes valeurs de  $\theta$ , du pas de temps, du temps final et de la condition initiale.

## 2 Résolution approchée par un $\theta$ -schéma et programmation Matlab

### 2.1 Obtention du maillage

On maille le domaine  $]0, 1[ \times ]0, 1[$  grâce au mailleur de Matlab PDETOOL-BOX (commande pde-tool). On raffine le maillage pour obtenir un maillage structuré de pas  $1/32$  sur les deux axes.

On exporte les variables  $p, e$  et  $t$  relatives au maillage.

Lors de l'exportation du maillage, les variables  $p, e$  et  $t$  sont créées :

- $p$  : représente les coordonnées  $x$  et  $y$  de chaque point nodal. (matrice  $2 \times N$ )
- $e$  : donne des informations sur les frontières du maillage (matrice  $7 \times m$ ) :
  - lignes 1 et 2 : numéros des extrémités du segment
  - lignes 3 et 4 : abscisse curviligne (ramenée à  $[0, 1]$ ) des extrémités par rapport à la frontière sur laquelle le segment se situe
  - ligne 5 : numero de la frontière sur laquelle le segment se situe
  - lignes 6 et 7 : numeros des sous-domaines gauches et droites (par rapport au sens du segment)
- $t$  : donne les numéros des points constituant chaque triangle, ainsi que le domaine dans lequel le triangle se trouve (matrice  $4 \times n$ )

## 2.2 Formation des matrices masse et raideur finales et résolution

On utilise la fonction assema qui nous donne la matrice masse M et la matrice raideur K. Ici, le vecteur chargement F est nul.  $U^{(n)}$  désigne le vecteur inconnu du déplacement au temps  $t_n$  à l'intérieur du maillage (obtenu grâce à la fonction find de Matlab)

La formulation variationnelle conduit au système matriciel suivant :

$$\begin{cases} M(\dot{U})^{(n)} + K.U^{(n)} = F, \\ U^{(0)} = \alpha, \end{cases} \quad (2)$$

où  $\dot{U}$  désigne la dérivée du vecteur U par rapport au temps et  $\alpha$  est le vecteur contenant la donnée initiale  $\alpha$  aux points de discretisation.

On construit alors un  $\theta$ -schéma :

$$\begin{cases} (M \cdot \frac{U^{(n+1)} - U^{(n)}}{\Delta t} + (1 - \theta) \cdot K \cdot U^{(n)} + \theta \cdot K \cdot U^{(n+1)}) = (1 - \theta) \cdot F^{(n)} + \theta F^{(n+1)}, \\ U^{(0)} = \alpha, \end{cases} \quad (3)$$

Comme F est nul, on peut simplifier pour obtenir :

$$\begin{cases} (\frac{1}{\Delta t} \cdot M + \theta \cdot K) \cdot U^{(n+1)} = (\frac{1}{\Delta t} \cdot M - (1 - \theta) \cdot K) \cdot U^{(n)} \\ U^{(0)} = \alpha, \end{cases} \quad (4)$$

On pose  $A = \frac{1}{\Delta t} \cdot M + \theta \cdot K$  et  $B = \frac{1}{\Delta t} \cdot M - (1 - \theta) \cdot K$  et on obtient :

$$\begin{cases} A \cdot U^{(n+1)} = B \cdot U^{(n)} \\ U^{(0)} = \alpha \end{cases} \quad (5)$$

Le principe de résolution est le suivant :

- Calcul de  $U^{(0)}$
- Obtention des matrices K et M
- Calcul de A et B
- factorisation LU de A
- A chaque pas de temps faire :
  - Calcul du second membre  $S = B \cdot U^{(n)}$
  - Résolution de  $L \cdot Z = S$  avec L triangulaire inférieure
  - Résolution de  $U \cdot U^{(n+1)} = Z$  avec U triangulaire supérieure (ne pas confondre avec  $U^{(n)}$  solution du problème)

- Affichage des solutions / calcul des solutions exactes / calculs d'erreurs
- Affichage de la courbe d'erreur

### 3 Mise au point du programme de résolution approchée

#### 3.1 Problème ayant une solution analytique connue.

On utilise la donnée initiale suivante :

$$\alpha(x, y) = \begin{cases} x, & 0 \leq x \leq 1/2, \\ 1 - x, & 1/2 \leq x \leq 1. \end{cases} \quad (6)$$

On résout les conditions aux limites sur la dérivée en remarquant que comme  $\alpha$  ne dépend pas de  $y$ ,  $u$  ne dépendra pas de  $y$  pour tout  $t$  (et donc  $\partial_y u = 0$ )

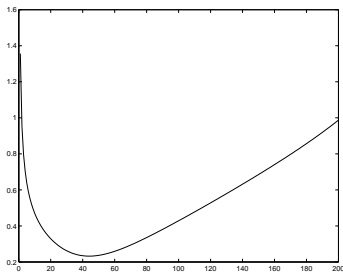
La solution  $u(x, y, t)$  est alors donnée sous la forme d'une série de Fourier :

$$u(x, y, t) = \frac{4}{\pi^2} \sum_{l=0}^{l=\infty} \frac{(-1)^l}{(2l+1)^2} e^{-(2l+1)^2 \pi^2 t} \sin((2l+1)\pi x).$$

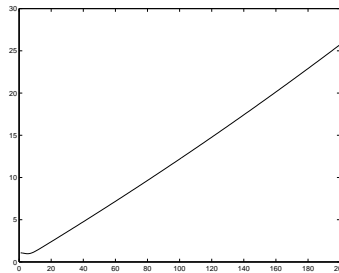
On n'utilisera que les 200 premiers termes de la somme.

#### 3.2 Mise au point du programme

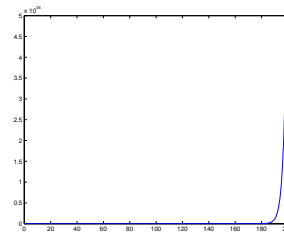
Le tracé des courbes d'erreur donne :



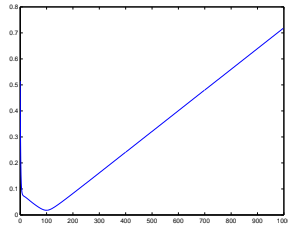
$\theta = 0.5$  et  $\Delta t = 0.005$



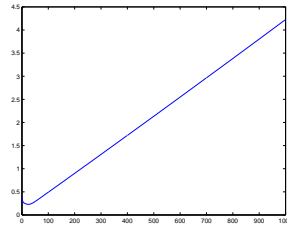
$\theta = 1$  et  $\Delta t = 0.005$



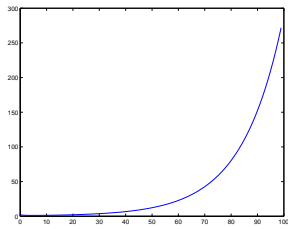
$\theta = 0.4$  et  $\Delta t = 0.005$



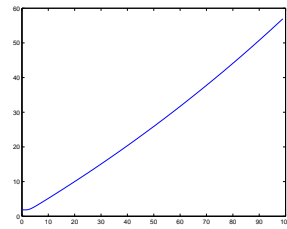
$\theta = 0.5$  et  $\Delta t = 0.001$



$\theta = 1$  et  $\Delta t = 0.001$



$\theta = 0.5$  et  $\Delta t = 0.01$



$\theta = 1$  et  $\Delta t = 0.01$

On constate que :

- Euler Implicite ( $\theta = 1$ ) est stable pour des pas de temps petits (0.001)
- Crank-Nicholson est plus précis que Euler Implicite pour les petits pas de temps, mais l'est moins pour les pas de temps plus grands
- Pour  $\theta = 0.4$ , le schéma ne respecte pas les conditions de stabilité.

## 4 Expérimentation numérique

### 4.1 Exemple traité.

On utilise le script précédent pour résoudre l'équation de la chaleur avec la condition initiale :

$$\alpha(x, y) = \begin{cases} 1 - 4\sqrt{(x - 1/2)^2 + (y - 1/2)^2}, & \text{si } \sqrt{(x - 1/2)^2 + (y - 1/2)^2} \leq 1/4, \\ 0, & \text{sinon.} \end{cases} \quad (7)$$

On choisit  $T=0.5$  et une solution de référence avec  $\theta=0.5$  et  $\Delta t=0.001$  (solution théoriquement très précise). On trouve les erreurs relatives à la solution de référence pour différentes valeurs de  $\Delta t$  et  $\theta$  :

Test	1	2	3
$\Delta t$	0.001	0.01	0.01
$\theta$	1	0.5	1
Erreur finale	2.46	127.54	15.57

Ces résultats confirment que le schéma de Euler Implicite est plus stable et plus précis que celui de Crank-Nicholson pour les pas de temps "assez grands".

## 5 Conclusion

Nous avons utilisé différents  $\theta$ -schéma pour étudier la convergence et la stabilité en temps de l'équation de la chaleur 2D et nous avons vu que Crank-Nicholson est meilleur pour des pas de temps petits, que Euler Implicite est meilleur pour des pas de temps plus grands. Nous avons aussi vu que le schéma avec  $\theta = 0.4$  n'est pas du tout stable. En revanche nous n'avons pu observer les erreurs dues à la méthode des éléments finis.

## 6 Annexes

### 6.1 Script global utilisé pour les deux exercices

```
% entree des donnees utilisateur
T_final = input('Temps final : ');
theta = input('Theta : ');
dt = input('Pas de temps : ');
Np = input('Nb de pas de temps separant chaque tracé : ');
alpha = input('fonction U0 : ','s');

% chargement du maillage, conditions aux limites et initiales
load mesh
N = length(p);
[K,M]=assema(p,t,1,1,0);
IN=find(p(1,:)>0.00001 & p(1,*)<0.9999);
Un = feval(alpha,p(:,IN));

K=K(IN,IN);
M=M(IN,IN);
A=(1./dt)*M+theta*K;
B=(1./dt)*M-(1-theta)*K;
clear K;
clear M;
[LA,UA]=lu(A);

X = zeros(N,1);
X(IN)=Un;
erreur = 0.;

% iteration en temps
for i=0:floor(T_final/dt)

    % solution calculée
    Un = reshape(Un,length(Un),1);
    if (mod(i,Np)==0)
        figure(1);
        pdeplot(p,e,t,'zdata',X);
        pause(0.010);
    end;
```

```

Y=B*Un;
Z=LA\Y;
Un=UA\Z;

% solution exacte pour le premier exercice
if (size(alpha)==size('alph'))
    if (alpha=='alph')
        Sol=0;
        for l=0:200
            l2=2*l+1;
            Sol = Sol+((((-1).^l)/(l2.^2)).*exp(-l2.^2*pi^2*i*dt))
                .*sin(l2.*pi.*p(1,:));
        end;
        Sol = Sol*4/(pi^2);

        if (mod(i,Np)==0)
            figure(2);
            pdeplot(p,e,t,'zdata',Sol);
            pause(0.010);
        end;

        erreur(i+1) = norm(X'-Sol)/norm(Sol)*100;
    end;
end;

X(IN)=Un;

end; % fin iteration en temps

% chargement du fichier de reference et calcul de l'erreur
% sur la solution de reference pour l'exercice 2
if (size(alpha)==size('alph2'))
    if (alpha=='alph2')
        load 'reference.mat' Un;
        'erreur au temps final :'
        erreur = norm(X(IN)-Un)/norm(Un)*100
    end;
end;

```

```

end;

% calcul de l'erreur sur la solution exacte pour le 1er exercice
if (size(alpha)==size('alph'))
    if (alpha=='alph')
        figure(3);
        % (on n'affiche pas l'erreur sur la condition initiale)
        plot(erreur(2:length(erreur)));
    end;
end;

```

## 6.2 Fonctions 'alph' et 'alph2' correspondants aux exercices 1 et 2

### 6.2.1 Exercice 1

```

function U=alph(P)
    G = find(P(1,:)>0.5);
    U=zeros(length(P),1);
    U = P(1,:);
    U(G)=1-P(1,G);

```

### 6.2.2 Exercice 2

```

function U=alph2(P)
    G = find( ((P(1,)-0.5).^2+(P(2,)-0.5).^2).^0.5 <=0.25);
    U=zeros(length(P),1);
    U(G) = 1-4* ((P(1,G)-0.5).^2 + (P(2,G)-0.5).^2).^0.5;

```